



Universidad del sureste
Campus Comitán
Licenciatura en Medicina Humana

Tema: Ejercicios de Imagenología I

**Alumno: Carlos Rodrigo Velasco
Vázquez**

Grupo "B"

Grado: Cuarto semestre

Materia: Imagenología

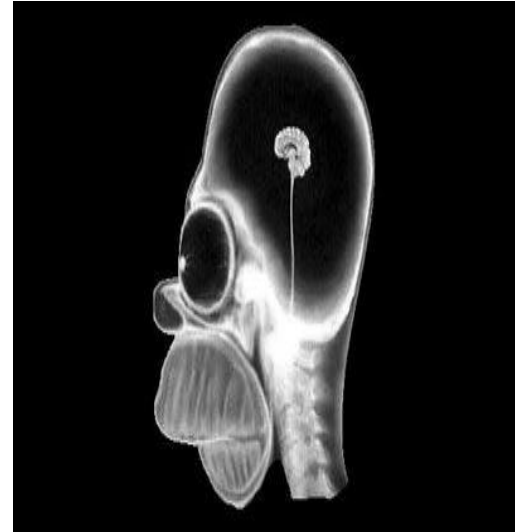
Docente: Gerardo Cancino Gordillo

Comitán de Domínguez Chiapas a 18 de marzo de 2023

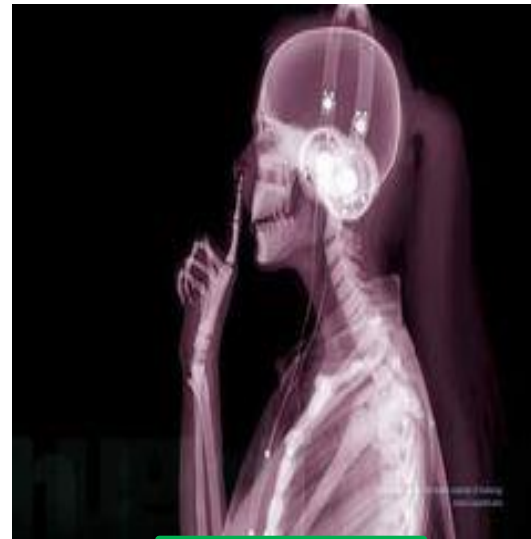
IMG. 1

- Actividad 1

Radiografía lateral de cráneo. En ella podemos observar a un sujeto de aproximadamente 45 años. Se observa la silueta del cráneo, la grasa dorso cervical, el atlas y las primeras 5 vértebras cervicales, la mandíbula inferior y superior, el hueso nasal, la nariz del sujeto, el globo ocular bien definido. Se observa un cerebro muy inferior al tamaño normal, con todos los componentes cerebrales (cerebro, cerebelo, tálamo, hipotálamo, médula espinal) pero muy disminuidos.



Radiografía lateral de cráneo y tórax. Posible femenino. Se observa la silueta craneana, los huesos de la cara, el maxilar inferior y superior, los dientes superiores e inferiores, el hueso nasal, el tabique nasal, la cavidad orbitaria, las primeras vértebras cervicales y torácicas, una clavícula, el esternón, las costillas en visión lateral. El humero que sale de la cintura escapular, el radio y cubito, los huesos del carpo y metacarpo, las falanges proximales, medias y distales (la falange distal del dedo índice está dentro de una narina). Sobre el cráneo podemos observar audiófonos de diadema que presionan las orejas y sobre la región occipital se observa la salida de una cola de cabello. Los cables de los audífonos recorren el pecho de la femenina, la silueta de la camisa se observa de manera precisa.



IMG. 2

IMG. 3

Radiografía de un poni sobre una bandeja. Podemos observar a su pelo (en la porción más anterior) saliéndose de su cabeza y reposar sobre la bandeja, la parte del pelo más posterior no está trenzado sólo tiene mechones mal ordenados. Sobre su región sacra sobre sale un mechón de cola trenzado amarrado con una liga en su porción distal terminal. En la parte inferior se pueden observar 4 patas, dos más anteriores y dos posteriores. En la raíz de la cola del poni se encuentra un parche. En la cabeza podemos observar a los dos globos oculares y a su nariz de una manera un poco difusa. En la parte del encéfalo podemos observar una especie de cinta que está de manera enrollada.



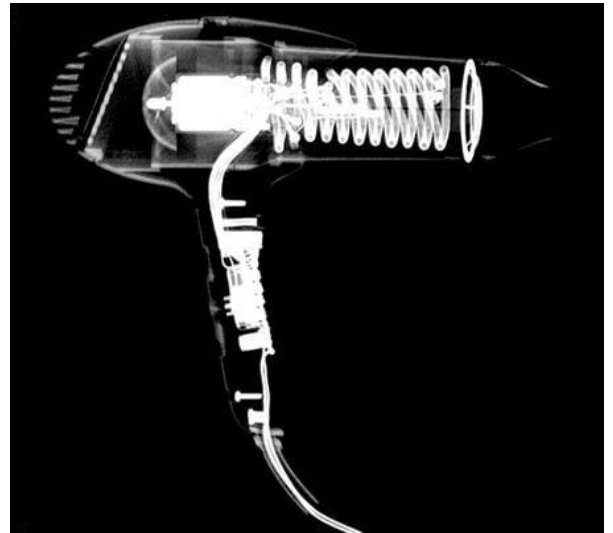
IMG. 4

Radiografía toraco abdominal de canino hembra. En la parte más ventral del abdomen se pueden distinguir 4 pezones. Podemos observar a varias vertebrae torácicas con aproximadamente 7 costillas desprendiéndose de ellas, se observa las vertebrae lumbares y la región sacra con la pelvis definida, desprendiéndose de ella la cola del canino. De la pelvis se observa al fémur desprenderse y hacer unión con el peroné. En el vientre del animal podemos observar la bolsa amniótica que contiene dentro de ella 5 cráneos con sus respectivas columnas vertebrales. De manera más difusa podemos ver a las vísceras abdominales sobre la parte más superior del abdomen.



IMG. 5

Radiografía lateral derecha de una secadora de cabello. Podemos observar su carcasa en la parte superior en la porción posterior la entrada de aire con huecos sobre ella. En partes más anteriores encontramos otra carcasa más pequeña que la exterior que contiene un sensor de temperatura, un conducto de aire que le sigue una resistencia en forma de espiral y termina con un filtro en forma de aro en la porción más anterior. Debajo de la parte superior en lo que podría ser el cuello del aparato se observa como los cables de corriente atraviesan la estructura y se fusionan con el conducto de aire y la resistencia. Se observa un primer tornillo, una base de adherencia por debajo de este y el interruptor del aparato le sigue. Debajo del interruptor podemos observar como el cable de corriente le sigue y también un segundo tornillo. El cable tiene un seguro que está antes de salir del aparato y luego sale de este.



IMG. 6

Radiografía inferior superior de un control de Play Station. Podemos encontrar como un cable de corriente se introduce dentro de el y termina haciendo conexión con la lógica del aparato. En la parte más superior se observan dos botones que sobre salen y en la base de estos tienen las gomas que funcionan de interruptores. Hay dos tornillos de sujeción en la parte superior, uno en la parte media superior, dos más en la parte media y los últimos dos en las prolongaciones más inferiores. En la parte izquierda del control se observan 4 botones al lado de estos una lamina de conducción de información que se adhiere a la lógica del control. En la parte derecha observamos otros cuatro botones y al lado de este las 4 soldaduras que detienen a los cables de corriente. Debajo de la lógica y en la porción mas inferior del cuerpo del control encontramos a 2 dos botones joystick y en las prolongaciones laterales se observan a dos motores de vibración.



IMG. 7

Radiografía de una maleta. Podemos observar un sujetador en la porción superior de esta donde se adhiere a la maleta con dos tornillos (uno a cada lado del sujetador). En la parte más inferior podemos observar a dos soportes para la maleta que sobresalen. La maleta se divide en dos compartimientos, en el compartimiento superior podemos observar que contiene una separación por donde se abre la maleta y rodea en la porción media de esta. Encontramos también dos broches que seguramente son los encargados de sujetar la cerradura de la maleta. En este compartimiento encontramos a tres frascos muy probablemente de perfume que contienen un atomizador. Luego se visualiza un cable que está enrollado y se prolonga hacia el lado derecho del compartimiento, sube y llega hasta la porción superior que termina en una planchadora de cabello. Se ve un frasco con lo que pueden ser utensilios de pedicura y un frasco aparentemente vacío en el lado derecho del compartimiento superior. En el compartimiento inferior podemos observar en el lado izquierdo a un vibrador en forma de pene, un estuche pequeño con cortaúñas y navajas, dos ganchos para cabello, un cepillo, una bolsa con utensilios de pedicura, 4 rodillos para cabello, una bolsa con una esponja y un paquete con 8 pastillas.



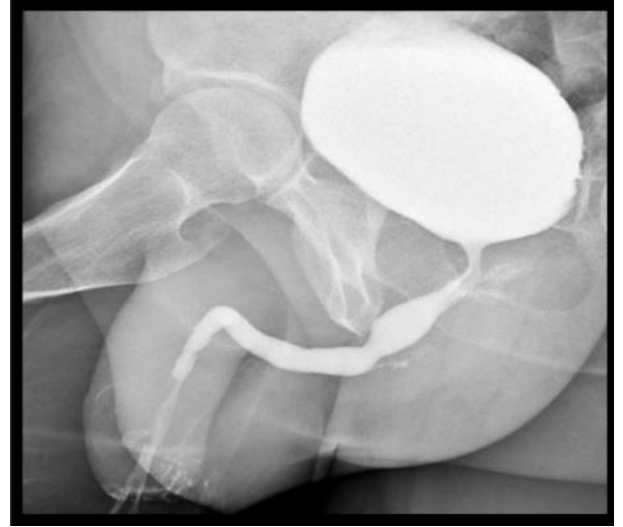
Radiografía de maleta. Podemos observar en la porción superior como sobresalen los sujetadores y se abrochan en la maleta. Dentro de ella encontramos algunos artículos. En la parte más inferior se puede observar la silueta de una mancuerna para ejercitarse, una bala deportiva que tiene una correa de metal que se prolonga por toda la periferia derecha de la maleta hasta llegar a un agarrador en la parte más superior. Del lado derecho de la maleta se observan un par de tenis con las correas y tachuelas en la suela de estos. En la parte del centro de observa una bolsita con un peine, un desodorante en forma de roll-on, un rastrillo y un corta uñas, hay un juego de 4 llaves, un pato de goma y unos googlees con su correa.



IMG. 8

IMG. 9

Radiografía pelviana de sujeto masculino. Podemos observar la silueta de los glúteos en la parte postero inferior, la vejiga se observa muy delimitada porque tiene medio de contraste al igual que todo el conducto uretral. El pene se observa en la porción anterior y la cabeza del fémur y el isquion de la cadera se observa de igual manera aunque muy difuso.

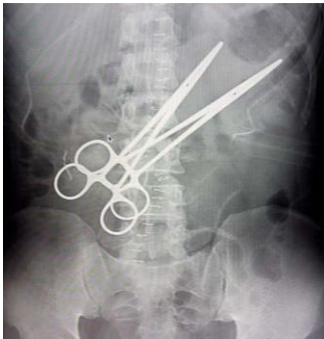


Radiografía anterior de pelvis. Podemos observar en la parte más inferior a las dos porciones del isquion y los dos forámenes obturadores. Parte de las crestas ilíacas. En el centro se puede observar al útero con medio de contraste y en sus extremidades medio de contraste que se ha irradiado en la periferia de este. El cuello uterino y conducto de la vagina esta en medio de contraste de igual manera. En la entrada de la vagina observamos un cuerpo extraño quizá una sonda.



IMG. 10

Actividad 2



Radiografía anteroposterior abdominal.

Densidad aire:	Observamos densidad aire en la flexura cólica izquierda, flexura cólica derecha, en el colon descendente
Densidad grasa:	no encontramos densidad grasa.
Densidad de tejidos blandos o líquidos:	se puede observar densidad de tejidos blandos en los intestinos, por toda la periferia de estos.
Densidad calcio:	encontramos esta densidad en los huesos vertebrales torácicos, lumbares y sacras. En las crestas ilíacas (ambas crestas pueden distinguirse), ambas porciones del isquion, las articulaciones sacroilíacas. Las ultimas costillas que pueden observarse.
Densidad metal:	se observa densidad metal en ambas tijeras que se observan en el abdomen, en las suturas que se visualizan por toda la línea alba del abdomen.

Estructuras radiopacas:	vértebras, costillas, íleon, crestas ilíacas, huesos del sacro, suturas del abdomen, tijeras en el abdomen.
Estructuras radiolúcidas:	intestinos, músculos de la periferia, grasa.



Radiografía abdominal.

Densidad aire:	pulmones, la burbuja gástrica, gases en el intestino.
Densidad grasa:	en la periferia del abdomen, en la periferia de las caderas y en la periferia del tórax.
Densidad de tejidos blandos o líquidos:	podemos observarlo en las mamas, siluetas de los intestinos, silueta del diafragma,
Densidad calcio:	las vértebras, las costillas que logran visualizarse, el sacro, las crestas ilíacas, la porción superior del isquion.
Densidad metal:	la letra D que se encuentra en la esquina superior izquierda.

Estructuras radiopacas:	vertebras torácicas, lumbares, sacras, crestas iliacas, isquion, costillas inferiores.
Estructuras radiolúcidas:	pulmones, huecos del intestino, grasa abdominal, músculos de los muslos, mamas, intestinos, grasa periférica.



Radiografía abdominal

Densidad aire:	encontramos densidad aire en una de las flexuras cólicas (derecha).
Densidad grasa:	en la periferia del abdomen.
Densidad de tejidos blandos o líquidos:	el colon y la flexura cólica.
Densidad calcio:	se observan las vértebras lumbares y sacras, las crestas iliacas y parte del isquion. Crestas del fémur.
Densidad metal:	no encontrada.

Estructuras radiopacas:	vertebras, sacro, cresta iliaca, isquion, cabezas del fémur. Cuerpos extraños ovalados en el pubis.
Estructuras radiolúcidas:	intestinos, grasa abdominal, aire en los intestinos. Grasa abdominal.

Radiografía de abdomen



Densidad aire:	encontramos densidad aire en los intestinos, en el colon ascendente y descendente.
Densidad grasa:	en la periferia de los intestinos.
Densidad de tejidos blandos o líquidos:	los intestinos.
Densidad calcio:	se observan ambas crestas iliacas, ambos isquion, cabezas de fémur, el sacro, vértebras lumbares, vertebras torácicas. Se observan las dos costillas flotantes y la 9na y 10ma costillas.
Densidad metal:	correa de hilo que está en el abdomen, suturas o clips en la parte superior izquierda.

Estructuras radiopacas:	crestas iliacas derecha e izquierda, ambos isquion, cuello y cabezas de ambos fémures, vertebras torácicas, lumbares y sacras. Corres de hilo en el abdomen.
Estructuras radiolúcidas:	gas atrapado en abdomen, intestinos, músculos en la cadera.



Radiografía de pubis

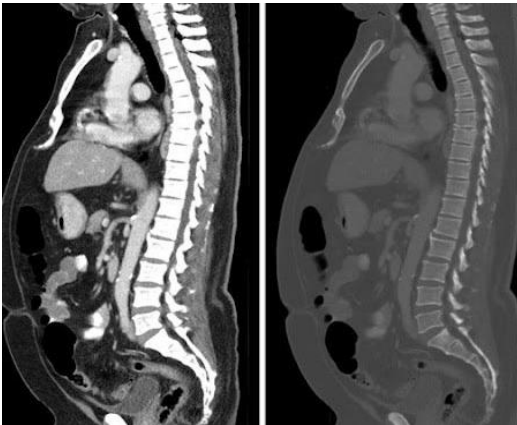
Densidad aire:	en una de las flexuras cólicas podemos observar aire atrapado.
Densidad grasa:	grasa abdominal periférica.
Densidad de tejidos blandos o líquidos:	en el abdomen podemos observar a los músculos como una leve opacidad.
Densidad calcio:	vértebras lumbares y torácicas, sacro, coxis, crestas iliacas, isquion, sínfisis del pubis, cabezas de fémur.
Densidad metal:	proyectil situado, en el pubis a lado del sacro.

Estructuras radiopacas:	vértebras lumbares, sacras y coxígeas, crestas iliacas, isquion, cabezas de fémur. Proyectil en el pubis.
Estructuras radiolúcidas:	grasa abdominal, músculos del abdomen.

Actividad 3

Tomografía toracoabdominopélvica corte para sagital.

Imagen izquierda en ventana de tejidos blandos, imagen derecha en ventana ósea.



Zonas hiperdensas:	columna vertebral (vértebras cervicales, torácicas, lumbares y sacras, coxis), apófisis espinosas de las vértebras. Esternón y apéndice xifoides. Zonas calcificadas en la aorta abdominal, aorta abdominal, arteria mesentérica superior. Ganglios linfáticos de la zona subyacente de la aorta. Corazón con el cayado aórtico y las venas pulmonares. Sínfisis del pubis.
Zonas isodensas:	la grasa abdominal es más isodensa que las fascias musculares.
Zonas hipodensas:	intestinos (colon ascendente), tráquea, esófago, vejiga riñón, grasa abdominal, estomago, ombligo, grasa lumbar, grasa dorso cervical, la capa de piel.

Densidad aire:	intestinos, colon, tráquea.
Densidad grasa:	grasa abdominal, grasa dorso cervical. Periferia del riñón, el hígado, los intestinos, la vejiga, mesenterio.
Densidad de tejidos blandos o líquidos:	corazón, arteria aorta abdominal, cayado aórtico, venas pulmonares, hígado, riñón, arteria mesentérica superior, esófago, vejiga, estomago.
Densidad calcio:	vértebras cervicales, torácicas, lumbares, sacras y coxígeas, esternón y apéndice xifoides.
Densidad metal:	medio de contraste en arterias.

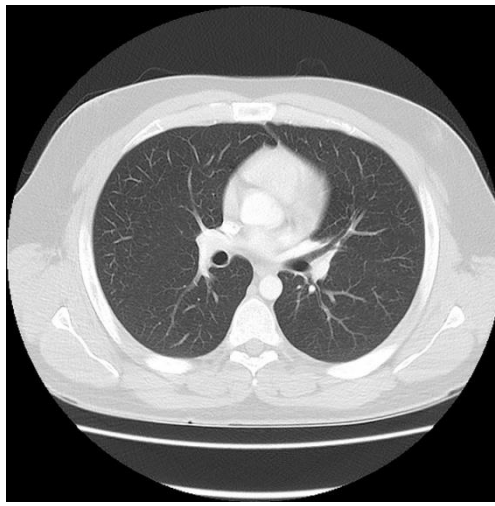


Tomografía cerebral en corte axial.

Tomografía en ventana de parénquima cerebral.

Zonas hiperdensas:	huesos del cráneo, plexos coroideos, cabecera de la cama.
Zonas isodensas:	masa cerebral, glándula pineal.
Zonas hipodensas:	seno frontal, III ventrículo, astas frontales del ventrículo lateral.

Densidad aire:	seno frontal.
Densidad grasa:	plexos coroideos, III ventrículo.
Densidad de tejidos blandos o líquidos:	masas cerebral.
Densidad calcio:	huesos del cráneo, plexo coroideo calcificado.
Densidad metal:	cabecera de la cama.

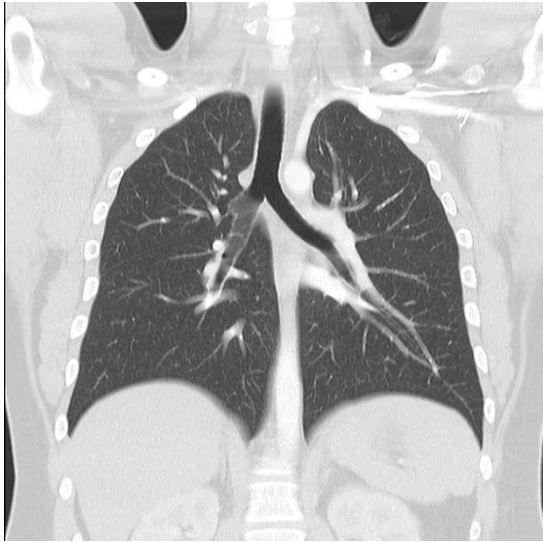


Tomografía torácica en corte axial

Tomografía de lado izquierdo en ventana de tejidos blandos, tomografía derecha en ventana ósea.

Zonas hiperdensas:	podemos ver al esternón, las costillas que rodean al tórax, una vértebra torácica con su espina dorsal, las escapulas que pueden diferenciar. Arteria aorta torácica.
Zonas isodensas:	la medula del esternón, de las vértebras, los músculos dorsales, de la cintura escapular y abdominales. Corazón, arteria aorta ascendente.
Zonas hipodensas:	pulmones, grasa abdominal, grasa dorsal, arterias pulmonares.

Densidad aire:	pulmones, bronquios.
Densidad grasa:	grasa abdominal, grasa dorsal, médula ósea del esternón.
Densidad de tejidos blandos o líquidos:	corazón, arteria aorta, músculos del dorso, músculos del abdomen. Músculos de la cintura escapular.
Densidad calcio:	vertebra torácica, escápulas, costilla, esternón.
Densidad metal:	cama de la toma de muestra.

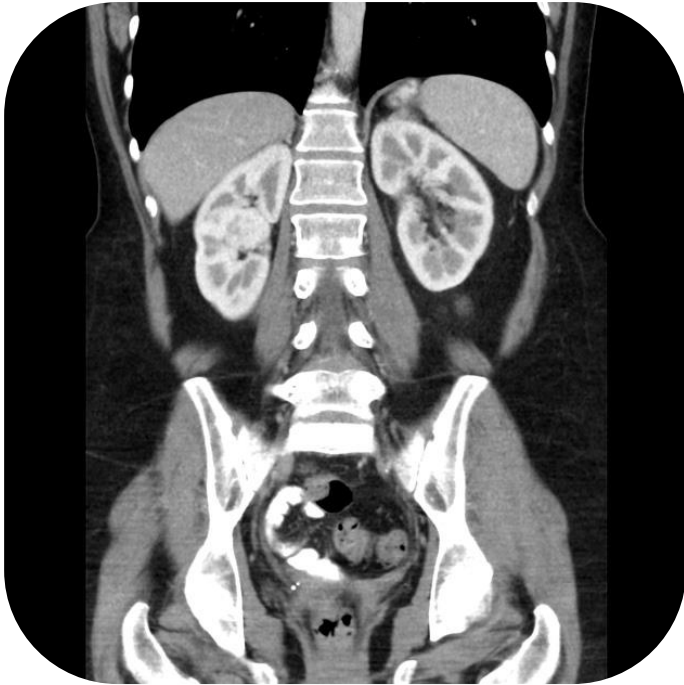


Tomografía torácica en corte coronal.

Ventana pulmonar

Zonas hiperdensas:	podemos ver a las vértebras cervicales, las clavículas, las cabezas de los húmeros, las costillas, últimas vertebra torácicas, aorta abdominal.
Zonas isodensas:	podemos observar al diafragma, las arterias pulmonares, los músculos de la cintura escapular, los riñones, la grasa abdominal.
Zonas hipodensas:	los pulmones, la tráquea, los bronquios, bronquiolos.

Densidad aire:	la tráquea, los pulmones, los bronquios y los bronquiolos.
Densidad grasa:	grasa abdominal.
Densidad de tejidos blandos o líquidos:	músculos del abdomen, músculos de la cintura escapular, diafragma, riñones, vasos del pulmón.
Densidad calcio:	vertebras torácicas, costillas, húmero, clavículas, vértebras cervicales.
Densidad metal:	no encontramos.

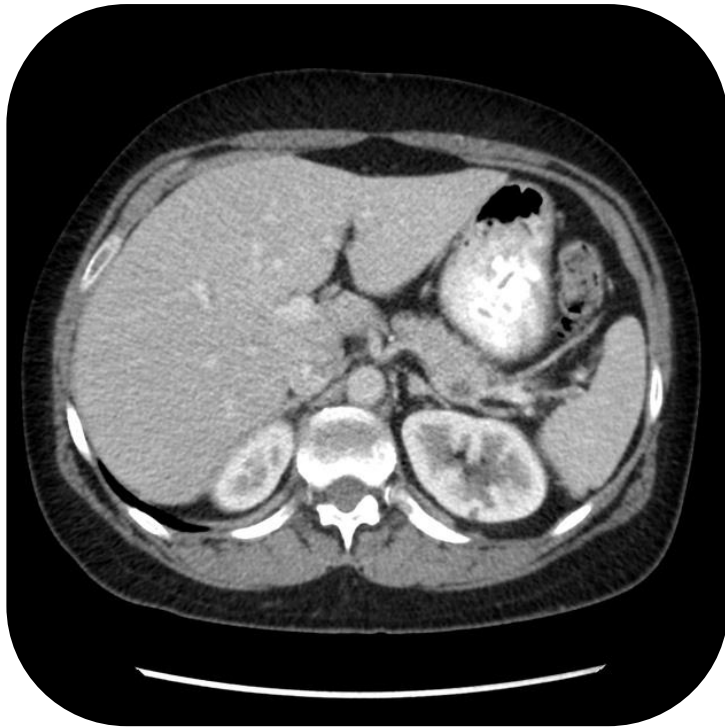


Tomografía toracoabdominal

Ventana de tejidos blandos

Zonas hiperdensas:	vértebras torácicas y vértebras lumbares. Costillas, crestas iliacas. Corteza renal.
Zonas isodensas:	músculos de la cadera, músculos del abdomen, los serratos inferiores, músculos intercostales del tórax
Zonas hipodensas:	hígado, grasa abdominal, tejido graso del abdomen y muslos, intestinos. Podemos observar a la medula renal más hipodensa que la corteza. Las glándulas suprarrenales, la arteria renal.

Densidad aire:	pulmones, intestinos..
Densidad grasa:	grasa abdominal del abdomen y las costillas y de las caderas.
Densidad de tejidos blandos o líquidos:	riñones, glándula suprarrenal, hígado, músculos del abdomen, músculos de la cadera, serratos.
Densidad calcio:	vértebras torácicas y lumbares, crestas iliacas, costillas.
Densidad metal:	no encontramos.



Tomografía abdominal en corte axial.

En ventana de tejidos blandos.

Zonas hiperdensas:	vértebra, costilla.
Zonas isodensas:	la medula renal.
Zonas hipodensas:	hígado, corteza renal, colon ascendente, músculos del dorso, músculos abdominales, grasa abdominal, grasa dorsal. Aorta abdominal, aire en el estómago, bazo, mesentérica superior, páncreas.

Densidad aire:	estómago, colon ascendente.
Densidad grasa:	grasa abdominal y dorsal.
Densidad de tejidos blandos o líquidos:	hígado, riñones, medula vertebral, músculos del dorso, músculos del abdomen, bazo, riñón, colon ascendente, arteria aorta, estómago.
Densidad calcio:	vertebra abdominal, costillas.
Densidad metal:	cama del tomógrafo.